

МАТЕМАТИЧНЕ МОДЕЛЮВАННЯ СИСТЕМ І ПРОЦЕСІВ

**Лекції 4. Моделювання ітераційних процесів.
Множини Жюліа та Мандельброта**

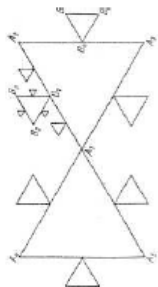
Київ – 2015

САМЫМ неожиданным, поражающим воображение компьютерным экспериментом, совмещающим в себе простоту алгоритма и загадочную сложность полученного результата, является построение множеств Жюлиа и Мандельброта, а также других аттракторов комплексных динамических систем, существенно связанных с особенностями движения точек внутри аттракторов под действием формирующих их отображений.

Образцом для вдохновения многих людей идеями комплексной динамики является красочная книга Х.-О. Пайтгена и П. Х. Рихтера [9].

4.1 Множества Жюлиа

Французские математики Гастон Жюлиа [10] и Пьер Фату [11] в 1917–1919 одновременно написали основополагающие статьи по итерированию функций комплексного переменного. В 1918 году Жюлиа, вдохновленный проблемой Кэли [12] (1879), описал множество, впоследствии названное его именем. Схематическая иллюстрация была сделана его учеником Хубертом Кремером [13] в 1924 году (год рождения Б. Мандельброта, рисунок справа). Однако увидеть эти множества в полной их красе стало возможным только спустя более пятидесяти лет с наступлением эры ЭВМ. Впервые грубое, но уже характерное изображение множества Жюлиа появилось в работе Роберта Брукса и Питера Мателски [14] в 1978 году.



Орбитой точки $z \in \mathbb{C}$ под действием отображения $f: \mathbb{C} \rightarrow \mathbb{C}$ назовем множество¹

$$\{f^{(n)}(z)\}_{n=0}^{\infty}.$$

Множество Жюлиа для полиномиальной² функции $f: \mathbb{C} \rightarrow \mathbb{C}$ определяется так:

$$J(f) = \partial\{z \in \mathbb{C}: \lim_{n \rightarrow \infty} f^{(n)}(z) = \infty\}$$

и представляет собой границу множества точек, орбиты которых не уходят на бесконечность. Дополнение множества Жюлиа $\mathbb{C} \setminus J(f)$ называется *множеством Фату*. Наиболее хорошо исследованы множества Жюлиа для полиномиальных функций.

Визуально более эффектно *заполняющее множество Жюлиа* — множество точек, орбиты которых ограничены:

$$J(f) = \{z \in \mathbb{C}: \exists M_z > 0 \quad \forall n \in \mathbb{N} \quad |f^{(n)}(z)| < M_z\}.$$

Рассмотрим множества Жюлиа, связанные с однопараметрическим семейством квадратичных функций³

$$f_c(z) = z^2 + c, \quad c \in \mathbb{C}.$$

4.1.1 Заполняющее множество Жюлиа

Для построения заполняющего множества Жюлиа $\mathbf{J}(f_c)$ полезна следующая теорема.

Теорема 4.1 (См. [1], с. 219) Пусть $|c| < 2$ и для $z \in \mathbb{C}$ существует $n_0 \in \mathbb{N}$ такое, что $|f_c^{(n_0)}(z)| \geq 2$, тогда $z \notin \mathbf{J}(f_c)$ $\left(\lim_{n \rightarrow \infty} f_c^{(n)}(z) = \infty \right)$.

Таким образом, чтобы построить $\mathbf{J}(f_c)$ в квадратном окне с центром (a, b) и стороной s , разделим окно на p^2 пикселей и проверим каждую точку-пиксел z на убегание ее орбиты на бесконечность. Зададимся предельным числом испытаний $ITER$. Если $|f_c^{(n)}(z)| < 2$, $n = 1, \dots, ITER$, то будем считать, что $z \in \mathbf{J}(f_c)$.

АЛГОРИТМ 4.1: ЗАПОЛНЯЮЩЕЕ МНОЖЕСТВО ЖЮЛИА ДЛЯ ФУНКЦИИ $f_c = z^2 + c$

Вход: $c \in \mathbb{C}$; ☞ комплексный параметр функции
 (a, b) ; ☞ центр окна
 s ; ☞ размер окна
 p ; ☞ число пикселей в каждой стороне окна (разрешение окна)
 $ITER$; ☞ количество итераций для испытания точки
Выход: $path$; ☞ массив координат точек заполняющего множества Жюлиа $\mathbf{J}(f_c)$

1: $path = \emptyset$; ☞ массив точек для отображения
2: $f_c(z) = z^2 + c$; ☞ инициализация итерируемой функции
3: для $m = 1, \dots, p$
4: $x = a - \frac{s}{2} + m\frac{s}{p}$;
5: для $n = 1, \dots, p$
6: $y = b - \frac{s}{2} + n\frac{s}{p}$;
7: $z = x + iy$;
8: повторять $ITER$ раз
9: $z = f_c(z)$;
10: если $|z| \geq 2$, то выход из цикла;
11: если $|z| < 2$, то $path = path \cup \{x, y\}$; ☞ добавить точку в массив для отображения

ЗАПОЛНЯЮЩЕЕ МНОЖЕСТВО ЖЮЛИА ДЛЯ ФУНКЦИИ $f_c = z^2 + c$

```
1  c:%i$
2  f(z):=expand(z^2+c),float$
3  [a,b]:[0,0]$
4  s:3$
5  p:500$
6  ITER:10$
7
8  path:[]$
9
10 for m:1 thru p do
11   (x:float(a-s/2+m*s/p),
12   for n:1 thru p do
13     (y:float(b-s/2+n*s/p),
14     z:x+%i*y,
15     thru ITER do
16       (z:f(z),
17       if abs(z)>=2 then return()
18       ),
19     if abs(z)<2 then path:endcons([x,y],path)
20     )
21   )$
22 load(draw)$
23 wxdraw2d(point_type=dot,points(path))$
```

КОММЕНТАРИЙ.

Прежде всего отметим необходимость проводить вычисления с числами типа `float`, иначе Махима оперирует простыми дробями, что замедляет вычисления в 10–100 раз. Для этого в строчках 2, 11 и 13 мы используем приведение к типу `float`. Также заметим, что использование символики комплексных чисел замедляет вычисления, но является более наглядным. Так, например, можно было бы функцию $f(z)$ в строчке 2 определить иначе: $f(x,y) := [x^2 - y^2 + cx, 2x*y + cy]$, где $c = c_x + c_y i$, а число z хранить в виде массива $[x, y]$.

Команда `expand(expression)` раскрывает скобки в `expression` и группирует подобные слагаемые, что также полезно для ускорения вычислений. Эту команду можно заменить на команду

`rectform(z)` — возвращает алгебраический вид $x + yi$ комплексного числа $z = x + yi$.

Замечания об использованных командах:

`%i` — обозначение мнимой единицы i ;

`return()` — в данном случае — это выход из ближайшего цикла `for` (точнее — из оператора `do`);

`abs(z)` — модуль комплексного числа z ;

Обратите внимание, что параметры `ITER` и `p` являются антагонистами: чем больше `ITER`, тем меньше точек выдержат испытание; чем больше `p`, тем плотнее сетка испытываемых точек и тем больше вероятность не промахнуться мимо точек из $J(f_c)$. Варьируя эти параметры, можно добиться приемлемого изображения.

4.1.2 Множество Жюлиа. Метод сканирования границы

Идея построения множества Жюлиа как границы заполняющего множества Жюлиа ($J(f) = \partial J(f)$) состоит в следующем. Как и в предыдущем алгоритме, разбив экран на p^2 точек, проверить каждую из точек на принадлежность заполняющему множеству Жюлиа (остается ли модуль орбиты точки меньше 2 в течение $ITER$ итераций). Если точка принадлежит $J(f)$, проверить ее соседей (например, правого, левого, верхнего и нижнего) на предмет убегания их орбит на бесконечность (становится ли модуль точки орбиты больше или равным 2 в течение $ITER$ итераций). Если орбита хотя бы одного из четырёх соседей неограничена, то признаем центральную точку граничной, то есть принадлежащей множеству $J(f)$ — это и будет нашим критерием.

Грубая реализация этой идеи состоит в нахождении матрицы E , представляющей $J(f)$ ($E_{ij} \leftrightarrow z \in J(f) \Leftrightarrow E_{ij} = 1$), предыдущим алгоритмом и затем, пробегая по этой матрице второй раз, в проверке нашего критерия для соседей каждой точки. Однако при этом необходимо хранить и обрабатывать массив из p^2 точек, что неэффективно при больших p (например, 500).

Модифицируем грубый алгоритм так, чтобы хранить в памяти лишь массив из 3 строк и p столбцов:





- вычисляем первые две строки E_1 и E_2 матрицы E множества $J(f)$;
- запускаем цикл по оставшимся $p - 2$ строкам, в котором:
 - вычисляем следующую строку и записываем ее в E_3 ;
 - проверяем точки второй строки на принадлежность множеству $J(f)$, используя наш критерий:
$$E_{2i} \longleftrightarrow z \in J(f) \iff E_{2j} = 1 \quad \& \quad E_{1i} \cdot E_{2,i-1} \cdot E_{2,i+1} \cdot E_{3i} = 0$$
 - если $z \in J(f)$, то сохраняем точку z ;
 - переставляем строчки матрицы E : $E_1 \mapsto E_2$, $E_2 \mapsto E_3$.


Для простоты представления алгоритма мы проверяем только пиксели E_{ij} , у которых $2 \leq i, j \leq p - 1$, то есть только внутреннюю область.

Алгоритм 4.2: Множество Жюлиа для $f_c = z^2 + c$. Метод сканирования границы

Вход: $c \in \mathbb{C}$; ☞ комплексный параметр функции
 (a, b) ; ☞ центр окна
 s ; ☞ размер окна
 p ; ☞ число пикселей в каждой стороне окна (разрешение окна)
 $ITER$; ☞ количество итераций для испытания точки
Выход: $path$; ☞ массив координат точек множества Жюлиа $J(f_c)$

1: $ITER = 10$;
 2: $path = \emptyset$;
 3: E = нулевая матрица размера $3 \times p$;
 4: $f_c(z) = z^2 + c$;
 5: для $n = 1, 2$
 6: $y = b - \frac{s}{2} + n\frac{s}{p}$;
 7: для $m = 1, \dots, p$
 8: $x = a - \frac{s}{2} + m\frac{s}{p}$;
 9: $z = x + yi$;
 10: повторять $ITER$ раз
 11: $z = f_c(z)$;
 12: если $|z| \geq 2$, то выход из цикла;
 13: если $|z| < 2$, то $E_{nm} = 1$;
 14: для $n = 3, \dots, p$
 15: $y = b - \frac{s}{2} + n\frac{s}{p}$;
 16: для $m = 1, \dots, p$
 17: $x = a - \frac{s}{2} + m\frac{s}{p}$;
 18: $z = x + yi$;
 19: повторять $ITER$ раз
 20: $z = f_c(z)$;
 21: если $|z| \geq 2$, то выход из цикла;
 22: если $|z| < 2$, то $E_{3m} = 1$;
 23: иначе $E_{3m} = 0$;

-  количество итераций для испытания точки
-  массив точек для отображения
-  матрица-стек множества $\mathbf{J}(f_c)$
-  инициализация итерируемой функции

- 24: для $i = 2, \dots, p - 1$
- 25: если $E_{2i} = 1$ & $E_{1i} \cdot E_{2,i-1} \cdot E_{2,i+1} \cdot E_{3i} = 0$, то
- 26: $path = path \cup \{a - \frac{s}{2} + i\frac{s}{p}, b - \frac{s}{2} + (n - 1)\frac{s}{p}\}$
- 27: $E_1 = E_2, E_2 = E_3;$  меняем первую строку матрицы на вторую, вторую на третью

МНОЖЕСТВО ЖЮЛИА для $f_c = z^2 + c$. МЕТОД СКАНИРОВАНИЯ ГРАНИЦЫ

```
1  c:%i*0.25+0.52,float$
2  f(z):=expand(z^2+c),float$
3  [a,b]:[0,0]$
4  s:3$
5  p:300$
6  ITER:10$
7
8  path:[]$
9  E:zeromatrix(3,p)$
10                                     /* Заполняем первые два ряда матрицы E */
11  for n:1 thru 2 do
12      (y:float(b-s/2+n*s/p),
13      for m:1 thru p do
14          (x:float(a-s/2+m*s/p),
15          z:x+%i*y,
16          thru ITER do
17              (z:f(z),
18              if abs(z)>=2 then return()
19              ),
20          if abs(z)<2 then E[n] [m]:1
21          )
22      )$
```

```

23                                     /* Заполняем третий ряд матрицы E */
24 for n:3 thru p do
25     (y:float(b-s/2+n*s/p),
26     for m:1 thru p do
27         (x:float(a-s/2+m*s/p),
28         z:x+%i*y,
29         thru ITER do
30             (z:f(z),
31             if abs(z)>=2 then return()
32             ),
33             if abs(z)<2 then E[3][m]:1 else E[3][m]:0
34         ), /* Проверяем, обладают ли пиксели второго ряда убегающими соседями */
35     for i:2 thru p-1 do
36         if E[2][i]=1 and E[1][i]*E[2][i-1]*E[2][i+1]*E[3][i]=0
37         then path:endcons(float([a-s/2+i*s/p,b-s/2+(n-1)*s/p]),path),
38     E[1]:E[2], /* Меняем строки матрицы E */
39     E[2]:E[3]
40 )$ /* Показываем общее количество построенных точек */
41 print("Amount of points:",length(path))$
42
43 load(draw)$
44 wxdraw2d(point_type=dot,points(path))$

```

4.1.3 Множество Жюлиа. Метод обратных итераций

Этот алгоритм построения множества Жюлиа основан на следующих теоретических понятиях. Будем считать, что f — полином степени $n \geq 2$.

Точка $z \in \mathbb{C}$ называется *периодической с периодом* $p \in \mathbb{N}$ (не обязательно наименьшим), если $f^{(p)}(z) = z$. Такая точка называется:

- *сверхпритягивающей*, если $(f^{(p)})' = 0$;
- *притягивающей*, если $|(f^{(p)})'| < 1$;
- *нейтральной*, если $|(f^{(p)})'| = 1$;
- *отталкивающей*, если $|(f^{(p)})'| > 1$.

Если $w \in \mathbb{C}$ — притягивающая или сверхпритягивающая неподвижная точка ($f(w) = w$), то определим *область (бассейн) притяжения для* w так:

$$A(w) = \{z \in \mathbb{C} : f^{(n)}(z) \rightarrow w \text{ при } n \rightarrow \infty\}.$$

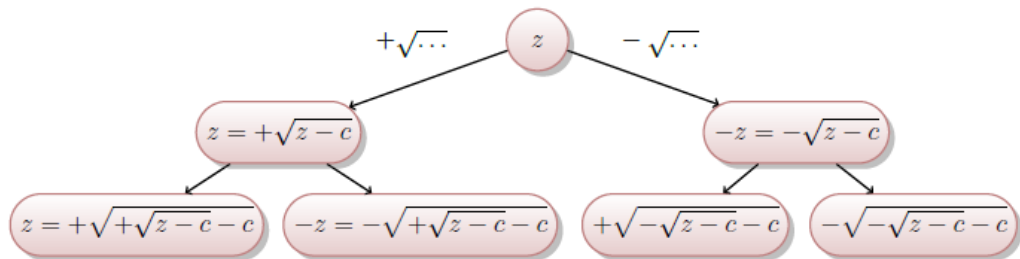
Теорема 4.2 (См. [1], с. 227; [8], гл. 14) Пусть f — полином степени $n \geq 2$. Следующие определения множества Жюлиа эквивалентны:

1. $J(f)$ есть граница области притяжения каждой притягивающей неподвижной точки f , включая ∞ .
2. Каждая отталкивающая периодическая точка принадлежит $J(f)$. $J(f)$ является замыканием множества всех отталкивающих периодических точек f .
3. Если $w \in J(f)$, то $J(f)$ есть замыкание множества $\cup_{n=0}^{\infty} (f^{(n)})^{-1}(w)$, где $(f^{(n)})^{-1}(w) = \{z \in \mathbb{C} : f^{(n)}(z) = w\}$.

Идея алгоритма обратных итераций для построения $J(f_c)$ состоит в следующем. Возьмем точку $z \in J(f_c)$. Как это сделать? Согласно пункту 2. Теоремы 4.2 достаточно найти отталкивающую неподвижную точку: решить уравнение $f_c(z) = z$ и выбрать из его корней такой, для которого $|f'(z)| > 1$. Для функции $f_c(z) = z^2 + c$ эта задача решается аналитически: находим корни квадратного уравнения и выбираем тот из них, который не меньше другого по модулю (см. Задачу 4.10).

Воспользуемся пунктом 3. Теоремы 4.2 и, задавшись необходимым числом точек 2^{ITER} , приблизим $J(f_c)$ множеством $\cup_{n=0}^{ITER} (f_c^{(n)})^{-1}(z)$. В нашем случае $(f_c)^{-1}(z) = \sqrt{z - c}$ (здесь под корнем \sqrt{z} понимаются сразу два значения $z_1, z_2 = \pm\sqrt{z}$ корня из комплексного числа z , такие что $z_i^2 = z$). В Махима функция `sqrt(z)` от комплексного числа z возвращает одно значение (см. Задачу 4.11), поэтому мы будем брать его со знаками $+$ и $-$.

Итак, возьмем найденное число z и будем применять к нему, а затем и к получающимся множествам, операцию взятия прообраза (пусть $z = +\sqrt{z - c}$):



Заметим, что в результате работы алгоритма обратных итераций некоторые части множества Жюлиа заполняются менее плотно, до этих частей «сложно добраться». Чтобы избежать такой неоднородности, данный метод модифицируют. Существуют и другие методы построения множеств Жюлиа, их сравнение дано в [15] и [16] (см. также [25e], [22e]).

АЛГОРИТМ 4.3: Множество Жюлиа для функции $f_c = z^2 + c$. МЕТОД ОБРАТНЫХ ИТЕРАЦИЙ

Вход: $c \in \mathbb{C}$; ☞ комплексный параметр функции
 $ITER$; ☞ количество итераций для испытания точки

Выход: $path$; ☞ массив координат точек множества Жюлиа $J(f_c)$

- 1: $f_c(z) = z^2 + c$; ☞ итерируемая функция
 - 2: $F_c(z) = +\sqrt{z - c} \cup -\sqrt{z - c}$; ☞ прообраз для f_c , z может быть множеством точек
 - 3: Находим z_i — корни уравнения $f_c(z) = z$;
 - 4: Находим z — максимальный по модулю из этих корней;
 - 5: $path = \{z\}$; ☞ инициализируем массив точек для отображения
 - 6: повторять $ITER$ раз
 - 7: $path = F_c(path)$
-
-

Множество Жюлиа для $f_c = z^2 + c$. МЕТОД ОБРАТНЫХ ИТЕРАЦИЙ

```
1  c:0.5,float$
2  f(z):=z^2+c,float$
3  F(z):=append(sqrt(z-c),-sqrt(z-c)),float$
4  ITER:12$
5
6  s:solve(f(z)=z,z)$
7  [s1,s2]:map(rhs,[s[1],s[2]])$
8  if abs(s1)>abs(s2) then z:float(s1) else z:float(s2)$
9  path:[expand(z)]$
10
11 thru ITER do path:F(path)$ /* вот эта строчка выполняет всю работу алгоритма! */
12
13 print("Amount of points:",length(path))$
14 load(draw)$
15 wxdraw2d(point_type=dot,points(realpart(path),imagpart(path)))$
```

КОММЕНТАРИЙ.

Заметим, что вся работа алгоритма сосредоточена в цикле на строчке 11.

Замечания об использованных командах:

`realpart(z)` — вещественная часть комплексного числа `z`;

`imagpart(z)` — мнимая часть комплексного числа `z` (эти команды переопределяются и на массив комплексных чисел `path`).

В этой программе использовано встроенное в `Math` переопределение функции `sqrt` с чисел на массивы чисел. Таким образом, в строчке 3 сначала получаются два массива `sqrt(z-c)` и `-sqrt(z-c)`, а потом они объединяются командой `append` (точнее, второй приписывается к первому справа).

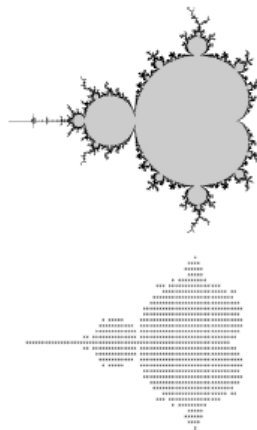
4.2 Множество Мандельброта

Множества Жюлиа $J(f_c)$ бывают только двух типов: связные и представляющие собой канторову пыль. *Множество Мандельброта* \mathcal{M} является индикатором этих двух топологических типов и его можно определить следующими эквивалентными способами:

1. $\mathcal{M} = \{c \in \mathbb{C} : \text{множество Жюлиа } J(f_c) \text{ связно}\}$.
2. $\mathcal{M} = \{c \in \mathbb{C} : \text{орбита нуля } \{f_c^{(n)}(0)\}_{n=0}^{\infty} \text{ ограничена}\}$.
3. $\mathcal{M} = \{c \in \mathbb{C} : f_c^{(n)}(0) \not\rightarrow \infty \text{ при } n \rightarrow \infty\}$.

Впервые множество \mathcal{M} рассмотрел французский математик Пьер Фату в 1905 году [17], изучая итерации отображения $z \mapsto z^2 + c$. Однако увидеть это множество во всей его загадочной красоте, как и множества Жюлиа, стало возможным только с появлением компьютеров. В 1978 году Роберт Брукс и Питер Мателски получили и опубликовали первое изображение это множества (см. рис. справа).

В 1980 году французский математик Бенуа Мандельброт [18], ученик Г. Жюлиа, обратил особое внимание на загадки, важность и взаимосвязь множеств \mathcal{M} и $J(f_c)$.



Для построения множества Мандельброта нам нужен критерий, судящий об ограниченности орбит. Для этого воспользуемся теоремой 4.1 и следующей теоремой:

Теорема 4.3 (См. [1], с. 233) *Если $|c| > 2$ и $|z| \geq |c|$, то орбита z устремляется к ∞ . В частности, из этого следует, что $c \notin \mathcal{M}$.*

Итак, проверять на принадлежность множеству \mathcal{M} нужно лишь точки $|c| \leq 2$. Более того, известно, что на окружности $|c| = 2$ только точка $c = -2 \in \mathcal{M}$. Для точек $|c| < 2$ критерий принадлежности множеству \mathcal{M} : если $|f_c^{(n)}(c)| < 2$ на протяжении $ITER$ итераций, то $c \in \mathcal{M}$, иначе $c \notin \mathcal{M}$.

АЛГОРИТМ 4.4: МНОЖЕСТВО МАНДЕЛЬБРОТА \mathcal{M}

Вход: $c \in \mathbb{C}$; ☞ комплексный параметр функции
 (a, b) ; ☞ центр окна
 s ; ☞ размер окна
 p ; ☞ число пикселей в каждой стороне окна (разрешение окна)
 $ITER = 15$; ☞ количество итераций для испытания точки

Выход: $path$; ☞ массив координат точек множества Мандельброта \mathcal{M}

- 1: $path = \emptyset$; ☞ массив точек для отображения
- 2: $f_c(z) = z^2 + c$; ☞ инициализация итерируемой функции
- 3: для $m = 1, \dots, p$
- 4: $c_x = a - \frac{s}{2} + m \frac{s}{p}$;
- 5: для $n = 1, \dots, p$
- 6: $c_y = b - \frac{s}{2} + n \frac{s}{p}$;
- 7: $z = 0$;
- 8: повторять $ITER$ раз
- 9: $z = f_c(z)$;
- 10: если $|z| \geq 2$, то выход из цикла;
- 11: если $|z| < 2$, то $path = path \cup \{c_x, c_y\}$; ☞ добавить точку в массив для отображения

МНОЖЕСТВО МАНДЕЛЬБРОТА M

```
1  f(z):=expand(z^2+cx+cy*i),float$
2  [a,b]:[-0.5,0]$
3  s:3$
4  p:400$
5  ITER:15$
6
7  path:[]$
8  for m:1 thru p do
9      (cx:float(a-s/2+m*s/p),
10     for n:1 thru p do
11         (cy:float(b-s/2+n*s/p),
12         z:0,
13         thru ITER do
14             (z:f(z),
15             if abs(z)>=2 then return()
16             ),
17             if abs(z)<2 then path:endcons([cx,cy],path)
18             )
19         )$
20 load(draw)$
21 wxdraw2d(point_type=dot,points(path))$
```


4.3 Проблема Кэли

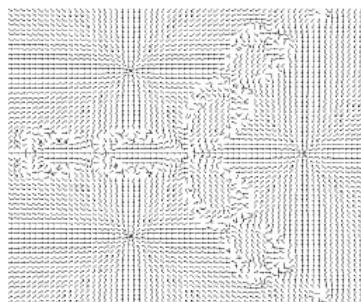
В 1879 г. сэр Артур Кэли в короткой заметке [12], меньше чем на страницу, поставил задачу нахождения областей притяжения корней уравнения $f(z) = 0$ при использовании классического метода Ньютона-Фурье, распространенного на комплексную плоскость. Эта заметка стимулировала вышеупомянутые исследования Г. Жюлиа.

А именно: дано уравнение $f(z) = 0$, где f — дифференцируемая функция, и его корень $\xi \in \mathbb{C}$. Надо найти множество

$$A(\xi) = \left\{ z \in \mathbb{C} \mid z_n \xrightarrow[n \rightarrow \infty]{} \xi, \text{ где } z_{n+1} = z_n - \frac{f(z_n)}{f'(z_n)}, z_0 = z \right\}.$$

Если рассмотреть функцию $g(z) = z - f(z)/f'(z)$, то нули функции $f(z)$ являются сверхпритягивающими неподвижными точками $g(z)$ (проверьте!). Поскольку $g(z)$ в общем случае не является полиномом, то для этой функции множество Жюлиа можно определить как замыкание множества отталкивающих точек.

А здесь приведем алгоритм построения векторного поля, показывающего, в какую сторону двигаются точки под воздействием многократного применения отображения g . По этому векторному полю можно представить, как расположены области притяжения корней f . На рисунке справа построено векторное поле для уравнения $f(z) = z^3 - 1 = 0$, т.е. для поиска бассейнов притяжения кубических корней из 1.



Идея алгоритма проста: разобьем прямоугольную область, в которой содержатся корни уравнения $f(z) = 0$, на сетку узлов, и в каждом узле z нарисуем вектор $g^{(ITER)}(z) - z$, показывающий направление смещения этого узла.

АЛГОРИТМ 4.5: ВЕКТОРНОЕ ПОЛЕ ДЛЯ ПРОБЛЕМЫ КЭЛИ

Вход: $f(z)$; ☞ функций, задающая уравнение $f(z) = 0$
 $[a, b] \times [c, d]$; ☞ окно, в котором будет построено поле; корни уравнения должны содержаться внутри этой области
 $ITER$; ☞ количество итераций отображения g
 $n \times m$; ☞ число точек разбиения сторон окна (разрешение окна)

Выход: $Vectors$; ☞ массив векторов, исходящих из соответствующих точек решётки разбиения окна
и графическое изображение векторного поля

- 1: $g(z) = z - f(z)/f'(z)$; ☞ инициализация функции g
- 2: $Vectors = \emptyset$; ☞ инициализация массива векторов
- 3: для $i = 1, \dots, n$; $j = 1, \dots, m$
- 4: $z_0 = a + (b - a)i/n + (c + (d - c)j/m)i$; ☞ пробегаем по узлам решётки
- 5: $z = z_0$;
- 6: повторять $ITER$ раз
- 7: $z = g(z)$;
- 8: $A = \{\text{Re}(z - z_0), \text{Im}(z - z_0)\}$; ☞ искомый вектор смещения за $ITER$ шагов
- 9: $Vectors_{ij} = \alpha \frac{A}{\|A\|}$; ☞ Подберем число $\alpha \in (0, 1)$ эмпирически так, чтобы векторы на рисунке не пересекались
- 10: в точках $\{a + (b - a)i/n, c + (d - c)j/m\}$ окна $[a, b] \times [c, d]$ рисуем векторы $Vectors_{ij}$.



ВЕКТОРНОЕ ПОЛЕ ДЛЯ ПРОБЛЕМЫ КЭЛИ (СЛУЧАЙ $f(z) = z^3 - 1$)

```
1 n:60$
2 m:60$
3 [a,b]:[-1.6,1.5]$
4 [c,d]:[-1.6,1.5]$
5 ITER:5$
6 g(z):=z-(z^3-1)/(3*z^2),float$
7 Vectors:[]$
8
9 for i:1 thru n do
10   for j:1 thru m do
11     (z0:float(a+(b-a)*i/n+(c+(d-c)*j/m)*%i),
12      z:z0,
13      thru ITER do z:g(z),
14      A:[realpart(z-z0),imagpart(z-z0)],
15      len:sqrt(A[1]^2+A[2]^2)/0.04,
16      Vectors:append(Vectors,[vector(float([a+(b-a)*i/n,c+(d-c)*j/m]),A/len)])
17     )$
18 load(draw)$
19 draw2d(color=black,xrange=[a,b],yrange=[c,d],head_length = 0.01,Vectors)$
```

КОММЕНТАРИЙ.

Заметим, чтобы избежать деления на 0 при вычислении значения $g(0)$, проще всего немного сдвинуть сетку узлов так, чтобы она не проходила через 0 .

Замечания об использованных командах:

`vector([x,y],[dx,dy])` — графический объект, представляющий собой координаты точки $[x,y]$ и координаты вектора $[dx,dy]$, исходящего из данной точки;

`head_length` — опция команды `draw`, задающая размер стрелки вектора.

Завдання для лабораторної роботи № 4



Задача Покажите, что оба множества $J(f_c)$ и $\mathbf{J}(f_c)$ симметричны относительно точки

4.1 $z = 0$ ($f_c(z) = f_c(-z)$). Используйте это, чтобы в два раза сократить вычисления в Алгоритмах **4.1** и **4.2**.



Задача Постройте множества Жюлиа для полиномов степени $n \geq 3$, а также для какой-либо неполиномиальной функции.

4.2



Задача Сделайте цветную иллюстрацию множества Жюлиа, используя алгоритм «времени убегания»: цвет пиксела экрана зависит от количества шагов, за которые итерации точки выходят из круга радиуса **2**.

4.3



Задача Нарисуйте множество Жюлиа для функции $f(z) = c \sin z$ (возьмите параметр **4.4** $c = 1 + 0.1i$), используя следующий критерий: точка $x + yi$ принадлежит изображению множества Жюлиа, если за $n = 30$ шагов ее итерации остаются внутри круга $|z| < m$, $m = 100$. Попробуйте менять числа c , n , m , а также сделать цветную иллюстрацию, аналогично

Задаче **4.3**.



Задача 4.5 Известно, что функция $f_c(z) = z^2 + c$ хаотична на своем множестве Жюлиа $J(f_c)$ при любом $c \in \mathbb{C}$ (см. [1, с. 247]). Проиллюстрируйте это компьютерным экспериментом.



Задача 4.6 Изучите самостоятельно другие алгоритмы построения множеств Жюлиа, см. [15]. Запрограммируйте один из них на МАХИМА.



Задача 4.7 Покажите, что множество \mathcal{M} симметрично относительно вещественной оси ($f_c(c) = \overline{f_{\bar{c}}(\bar{c})}$). Используйте это, чтобы в два раза сократить вычисления в Алгоритме 4.4. Каким образом можно еще ускорить алгоритм, если мы знаем, что множество \mathcal{M} заполнено внутри соответствующей главной кардиоиды $\rho = \frac{1}{2}(1 - \cos \theta)$?



Задача 4.8 Постройте границу множества Мандельброта $\partial\mathcal{M}$.




Задача 4.9 Найти замену переменной, при которой квадратичный полином $f(z) = az^2 + bz + c$, $a \neq 0$, приобретает вид $f(\tilde{z}) = \tilde{z} + \tilde{c}$.





Задача 4.10 Пусть $c \neq \frac{1}{4}$, а z_1, z_2 — корни уравнения $f_c(z) = 0$, $|z_1| \geq |z_2|$. Тогда $|f'_c(z_1)| > 1$.





Задача 4.11 Выяснить, какое из двух возможных значений корня $\sqrt{a + bi}$ возвращает функция `sqrt` в МАХИМА.

 **Задача 4.12** Можно существенно ускорить Алгоритм 4.3, привнеся в него элемент случайности: на каждом шаге итерации в строчке 7 вместо отображения F_c применять одно из отображений $+\sqrt{z-c}$ или $-\sqrt{z-c}$, выбранное случайно.

 **Задача 4.13** Можно ли ускорить вычисления в Листинге 4.3? Например, вычисляя отталкивающую точку z по аналитической формуле. Или изменив прообраз в строчке 3: `F(z) := (Z:float(sqrt(z-c)), append(Z, -Z))$.`

 **Задача 4.14** Можно ли ускорить вычисления в Алгоритме 4.4, если перебирать не прямоугольную, а радиальную решётку точек внутри круга $|c| < 2$?

 **Задача 4.15** Постройте множество Мандельброта для отображения $f(z) = z^3 + c$. Покажите, что если $|c| > 2$, то орбита z стремится к ∞ .

 **Задача 4.16** Постройте области притяжения корней уравнения $z^3 - 1 = 0$ в \mathbb{C} , раскрасив их в различные цвета.

 **Задача 4.17** Решите Задачу 4.16 для функции $f(z) = z^4 - 1$.

 **Задача 4.18** Решите Задачу 4.16 для функции $f(z) = z^3 - z$.

